

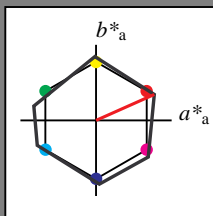
Eingabe: Farbmétrisches Reflexions-System NRS11

für Buntton $h^* = lab^*h = 24/360 = 0.067$ lab^*ich und lab^*nch

D65: Buntton R

LCH*Ma: 53 84 24

rgb*Ma: 1.0 0.0 0.0

Dreiecks-Helligkeit t^* 

%Umfang
 $u^*_{rel} = 119$
%Regularität
 $g^*_{H,rel} = 47$
 $g^*_{C,rel} = 100$

NRS11; adaptierte CIELAB-Daten

	$L^*=L^*_a$	a^*_a	b^*_a	$C^*_{ab,a}$	$h^*_{ab,a}$
RMa	53.2	77.06	34.32	84.36	24
JMa	53.2	-1.51	84.38	84.39	91
GMa	53.2	-82.27	18.98	84.44	167
G50BMa	53.2	-77.72	-32.98	84.44	203
BMa	53.2	4.37	-84.28	84.41	273
B50RMa	53.2	69.09	-48.41	84.37	325
NMa	10.99	0.0	0.0	0.0	0
WMa	95.41	0.0	0.0	0.0	0
RCIE	39.92	58.69	27.98	65.01	25
JCIE	81.26	-2.9	71.56	71.62	92
GCIE	52.23	-42.45	13.59	44.59	162
BCIE	30.57	1.35	-46.48	46.51	272

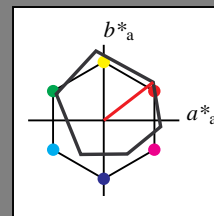
Ausgabe: Farbmétrisches Reflexions-System ORS18

für Buntton $h^* = lab^*h = 38/360 = 0.105$ lab^*ich und lab^*nch

D65: Buntton O

LCH*Ma: 48 83 38

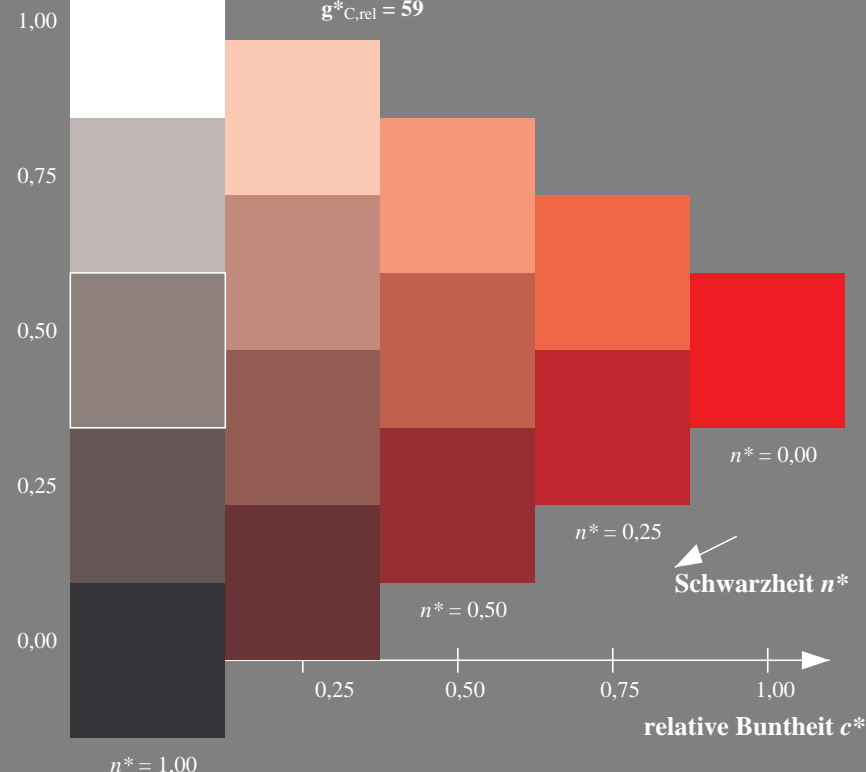
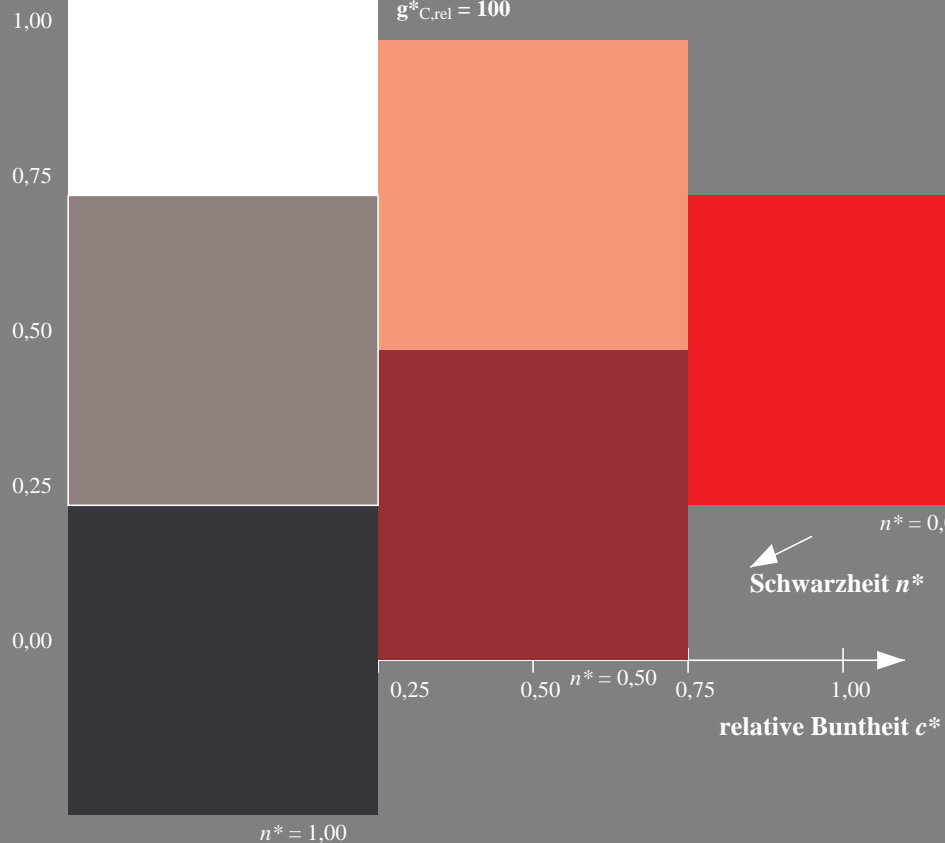
rgb*Ma: 1.0 0.0 0.0

Dreiecks-Helligkeit t^* 

%Umfang
 $u^*_{rel} = 93$
%Regularität
 $g^*_{H,rel} = 57$
 $g^*_{C,rel} = 59$

ORS18; adaptierte CIELAB-Daten

	$L^*=L^*_a$	a^*_a	b^*_a	$C^*_{ab,a}$	$h^*_{ab,a}$
OMa	47.94	65.37	50.52	82.62	38
YMa	90.37	-10.27	91.77	92.34	96
LMa	50.9	-62.79	34.95	71.87	151
CMa	58.62	-30.35	-45.01	54.3	236
VMa	25.71	31.11	-44.42	54.24	305
MMa	48.13	75.27	-8.35	75.73	354
NMa	18.01	0.0	0.0	0.0	0
WMa	95.41	0.0	0.0	0.0	0
RCIE	39.92	58.66	26.98	64.56	25
JCIE	81.26	-2.17	67.76	67.79	92
GCIE	52.23	-42.26	11.75	43.87	164
BCIE	30.57	1.15	-46.84	46.87	271



UG870-7, 3stufige Reihen für konstanten CIELAB Buntton 24/360 = 0.067 (links)

5stufige Reihen für konstanten CIELAB Buntton 38/360 = 0.105 (rechts)

BAM-Prüfvorlage UG87; Farbmétrik-Systeme ORS18 & ORS18input: *cmY0* setcmykcolor*

D65: 3 und 5stufige Farbreihen für 10 Bunttöne

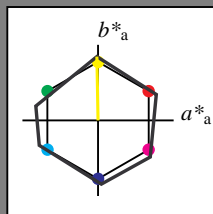
output: *Startup (S) data dependend*

Eingabe: Farbmétrisches Reflexions-System NRS11

für Buntton $h^* = lab^*h = 91/360 = 0.253$
 lab^*ich und lab^*nch

D65: Buntton J
LCH*Ma: 53 84 91
rgb*Ma: 1.0 1.0 0.0

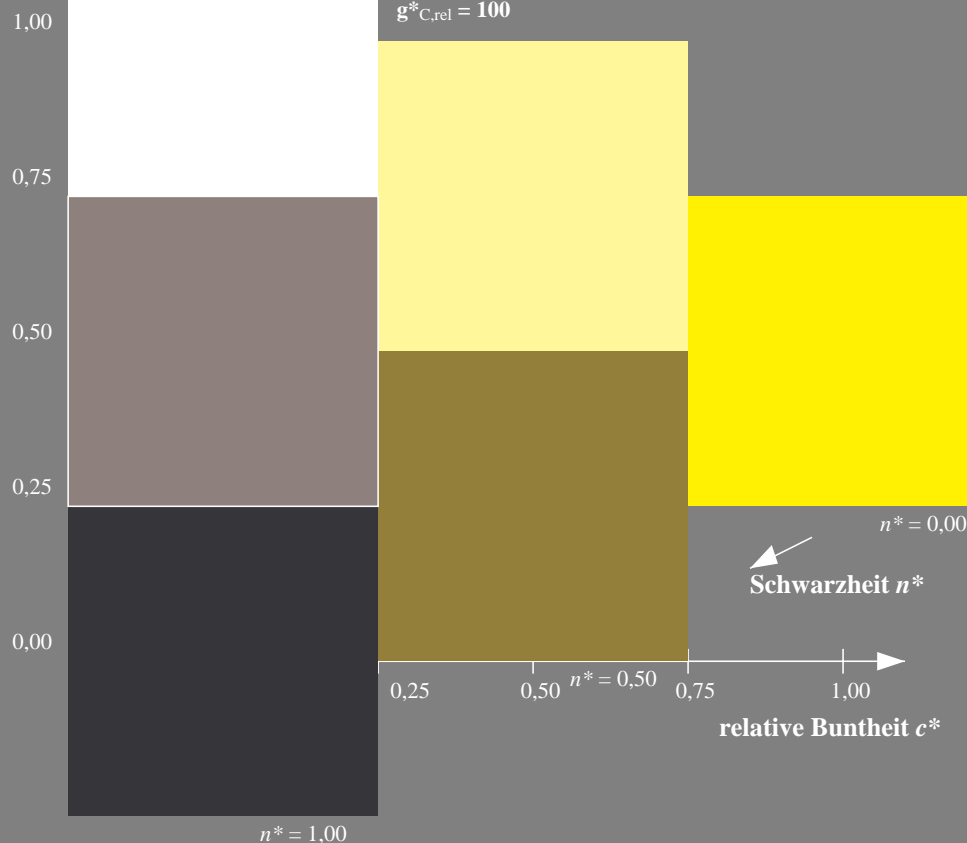
Dreiecks-Helligkeit t^*



NRS11; adaptierte CIELAB-Daten

	$L^*=L_a^*$	a_a^*	b_a^*	$C_{ab,a}^*$	$h_{ab,a}^*$
RMa	53.2	77.06	34.32	84.36	24
JMa	53.2	-1.51	84.38	84.39	91
GMa	53.2	-82.27	18.98	84.44	167
G50BMa	53.2	-77.72	-32.98	84.44	203
BMa	53.2	4.37	-84.28	84.41	273
B50RMa	53.2	69.09	-48.41	84.37	325
NMa	10.99	0.0	0.0	0.0	0
WMa	95.41	0.0	0.0	0.0	0
RCIE	39.92	58.69	27.98	65.01	25
JCIE	81.26	-2.9	71.56	71.62	92
GCIE	52.23	-42.45	13.59	44.59	162
BCIE	30.57	1.35	-46.48	46.51	272

%Umfang
 $u_{rel}^* = 119$
%Regularität
 $g_{H,rel}^* = 47$
 $g_{C,rel}^* = 100$

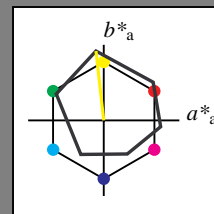


Ausgabe: Farbmétrisches Reflexions-System ORS18

für Buntton $h^* = lab^*h = 96/360 = 0.268$
 lab^*ich und lab^*nch

D65: Buntton Y
LCH*Ma: 90 92 96
rgb*Ma: 1.0 1.0 0.0

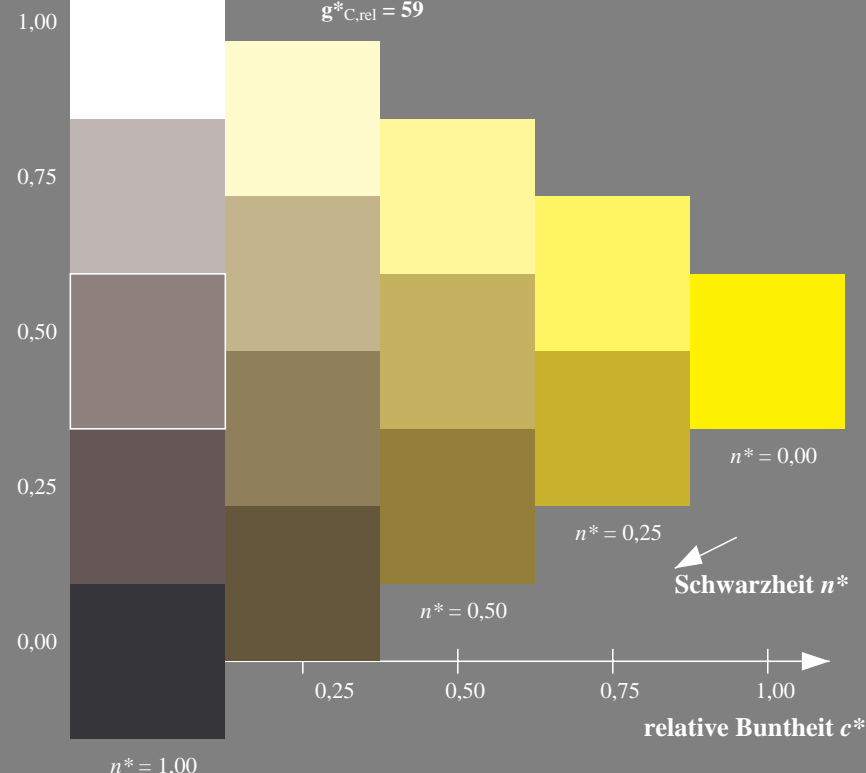
Dreiecks-Helligkeit t^*



ORS18; adaptierte CIELAB-Daten

	$L^*=L_a^*$	a_a^*	b_a^*	$C_{ab,a}^*$	$h_{ab,a}^*$
OMa	47.94	65.37	50.52	82.62	38
YMa	90.37	-10.27	91.77	92.34	96
LMa	50.9	-62.79	34.95	71.87	151
CMa	58.62	-30.35	-45.01	54.3	236
VMa	25.71	31.11	-44.42	54.24	305
MMa	48.13	75.27	-8.35	75.73	354
NMa	18.01	0.0	0.0	0.0	0
WMa	95.41	0.0	0.0	0.0	0
RCIE	39.92	58.66	26.98	64.56	25
JCIE	81.26	-2.17	67.76	67.79	92
GCIE	52.23	-42.26	11.75	43.87	164
BCIE	30.57	1.15	-46.84	46.87	271

%Umfang
 $u_{rel}^* = 93$
%Regularität
 $g_{H,rel}^* = 57$
 $g_{C,rel}^* = 59$



UG870-7, 3stufige Reihen für konstanten CIELAB Buntton 91/360 = 0.253 (links)

5stufige Reihen für konstanten CIELAB Buntton 96/360 = 0.268 (rechts)

BAM-Prüfvorlage UG87; Farbmétrik-Systeme ORS18 & ORS18input: *cmY0* setcmykcolor*

D65: 3 und 5stufige Farbreihen für 10 Bunttöne

output: *Startup (S) data dependend*

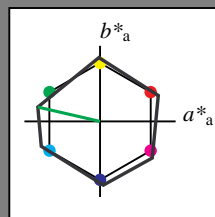
Eingabe: Farbmatisches Reflexions-System NRS11

für Buntton $h^* = lab^*h = 167/360 = 0.464$ lab^*ich und lab^*nch

D65: Buntton G

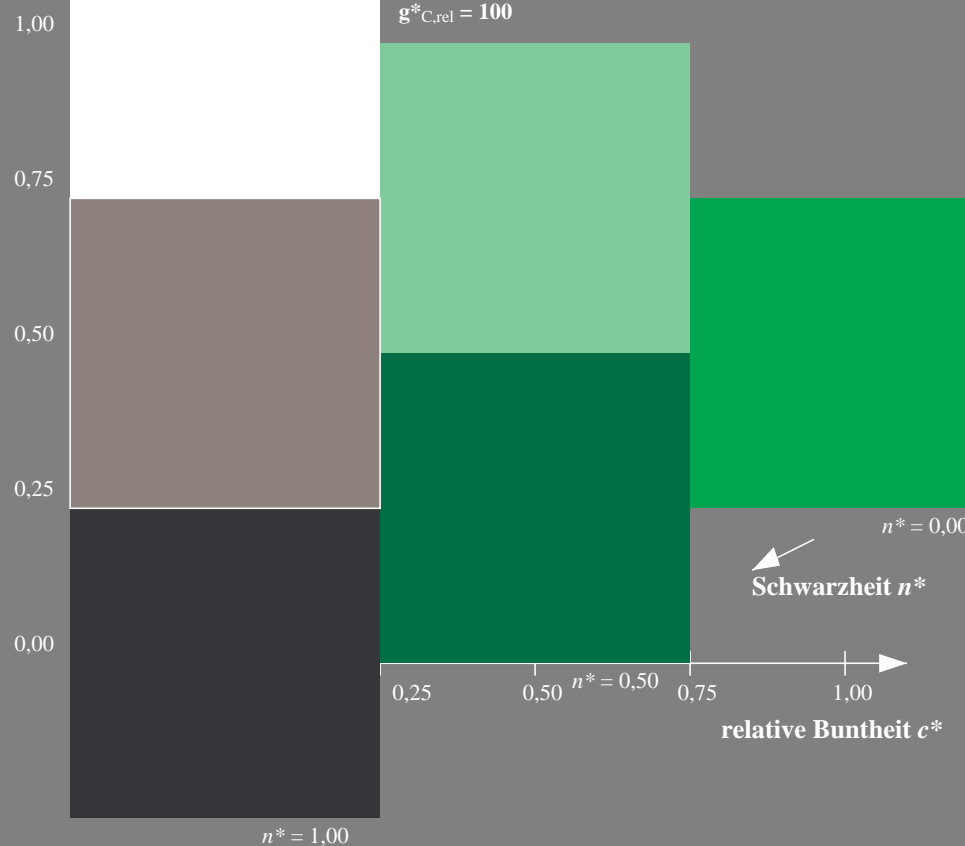
LCH*Ma: 53 84 167

rgb*Ma: 0.0 1.0 0.0

Dreiecks-Helligkeit t^* %Umfang
 $u^*_{rel} = 119$
%Regularität
 $g^*_{H,rel} = 47$
 $g^*_{C,rel} = 100$

NRS11; adaptierte CIELAB-Daten

	$L^*=L^*_a$	a^*_a	b^*_a	$C^*_{ab,a}$	$h^*_{ab,a}$
RMa	53.2	77.06	34.32	84.36	24
JMa	53.2	-1.51	84.38	84.39	91
GMa	53.2	-82.27	18.98	84.44	167
G50BMa	53.2	-77.72	-32.98	84.44	203
BMa	53.2	4.37	-84.28	84.41	273
B50RMa	53.2	69.09	-48.41	84.37	325
NMa	10.99	0.0	0.0	0.0	0
WMa	95.41	0.0	0.0	0.0	0
RCIE	39.92	58.69	27.98	65.01	25
JCIE	81.26	-2.9	71.56	71.62	92
GCIE	52.23	-42.45	13.59	44.59	162
BCIE	30.57	1.35	-46.48	46.51	272



UG870-7, 3stufige Reihen für konstanten CIELAB Buntton 167/360 = 0.464 (links)

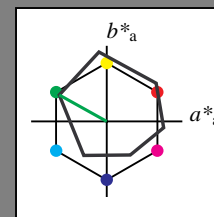
Ausgabe: Farbmatisches Reflexions-System ORS18

für Buntton $h^* = lab^*h = 151/360 = 0.419$ lab^*ich und lab^*nch

D65: Buntton L

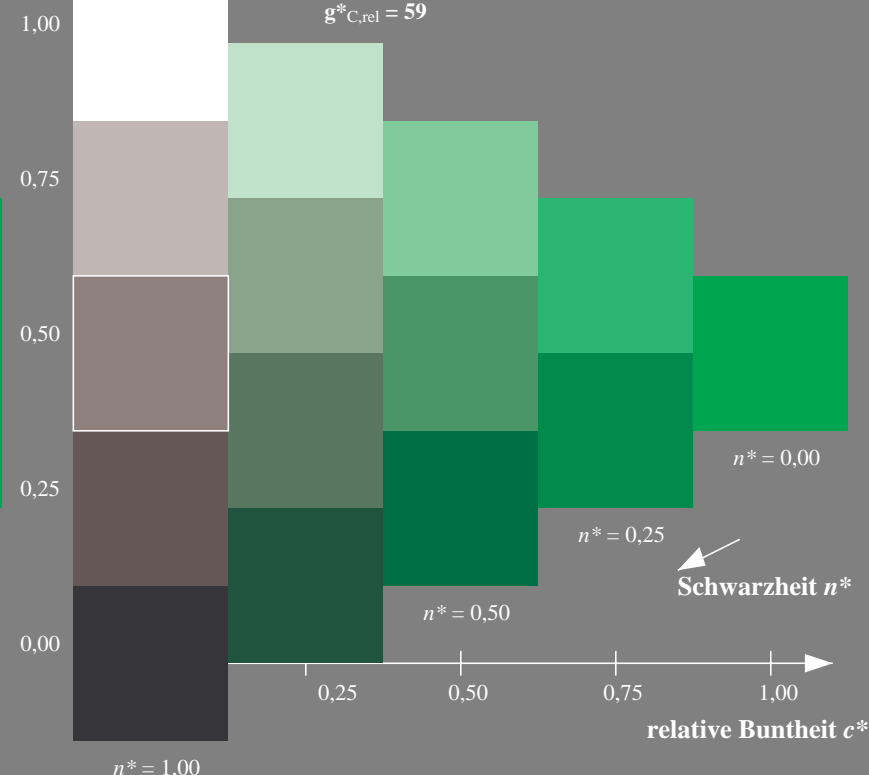
LCH*Ma: 51 72 151

rgb*Ma: 0.0 1.0 0.0

Dreiecks-Helligkeit t^* %Umfang
 $u^*_{rel} = 93$
%Regularität
 $g^*_{H,rel} = 57$
 $g^*_{C,rel} = 59$

ORS18; adaptierte CIELAB-Daten

	$L^*=L^*_a$	a^*_a	b^*_a	$C^*_{ab,a}$	$h^*_{ab,a}$
OMa	47.94	65.37	50.52	82.62	38
YMa	90.37	-10.27	91.77	92.34	96
LMa	50.9	-62.79	34.95	71.87	151
CMa	58.62	-30.35	-45.01	54.3	236
VMa	25.71	31.11	-44.42	54.24	305
MMa	48.13	75.27	-8.35	75.73	354
NMa	18.01	0.0	0.0	0.0	0
WMa	95.41	0.0	0.0	0.0	0
RCIE	39.92	58.66	26.98	64.56	25
JCIE	81.26	-2.17	67.76	67.79	92
GCIE	52.23	-42.26	11.75	43.87	164
BCIE	30.57	1.15	-46.84	46.87	271



5stufige Reihen für konstanten CIELAB Buntton 151/360 = 0.419 (rechts)

BAM-Prüfvorlage UG87; Farbmatrik-Systeme ORS18 & ORS18input: *cmY0* setcmykcolor*

D65: 3 und 5stufige Farbreihen für 10 Bunttöne

output: *Startup (S) data dependend*

Siehe ähnliche Dateien: <http://www.ps.bam.de/UG87/>
Technische Information: <http://www.ps.bam.de/Version 2.1, io=0,0?>

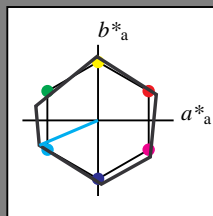
BAM-Registrierung: 20060101-UG87/10Q/Q87G03SP.PS/.PDF BAM-Material: Code=rh4ta
Anwendung für Beurteilung und Messung von Drucker- oder Monitorssystemen
/UG87/ Form: 4/10, Serie: 1/1, Seite: 4
Seite 4

Eingabe: Farbmatisches Reflexions-System NRS11

für Buntton $h^* = lab^*h = 203/360 = 0.564$
 lab^*ich und lab^*nch

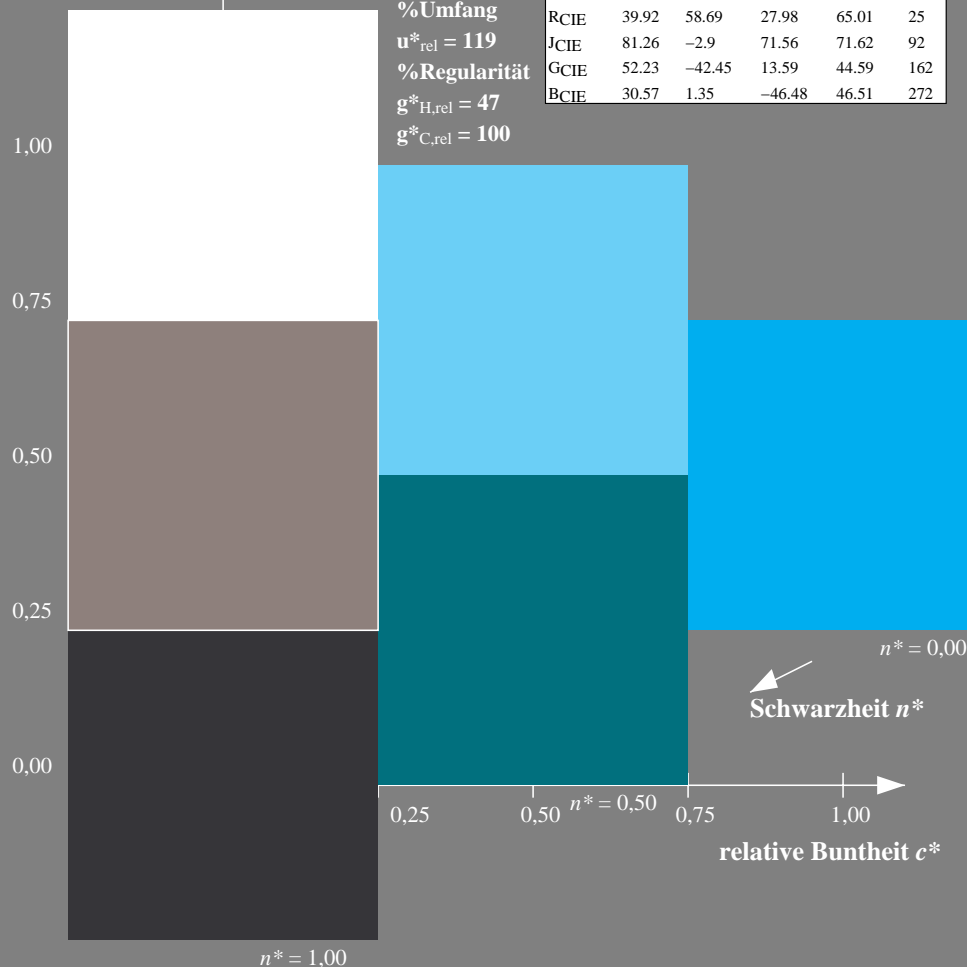
D65: Buntton G50B
LCH*Ma: 53 84 203
rgb*Ma: 0.0 1.0 1.0

Dreiecks-Helligkeit t^*



%Umfang
 $u^*_{rel} = 119$
%Regularität
 $g^*_{H,rel} = 47$
 $g^*_{C,rel} = 100$

NRS11; adaptierte CIELAB-Daten					
	$L^*=L^*_a$	a^*_a	b^*_a	$C^*_{ab,a}$	$h^*_{ab,a}$
RMa	53.2	77.06	34.32	84.36	24
JMa	53.2	-1.51	84.38	84.39	91
GMa	53.2	-82.27	18.98	84.44	167
G50BMa	53.2	-77.72	-32.98	84.44	203
BMa	53.2	4.37	-84.28	84.41	273
B50RMa	53.2	69.09	-48.41	84.37	325
NMa	10.99	0.0	0.0	0.0	0
WMa	95.41	0.0	0.0	0.0	0
RCIE	39.92	58.69	27.98	65.01	25
JCIE	81.26	-2.9	71.56	71.62	92
GCIE	52.23	-42.45	13.59	44.59	162
BCIE	30.57	1.35	-46.48	46.51	272

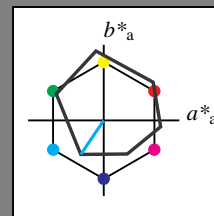


Ausgabe: Farbmatisches Reflexions-System ORS18

für Buntton $h^* = lab^*h = 236/360 = 0.656$
 lab^*ich und lab^*nch

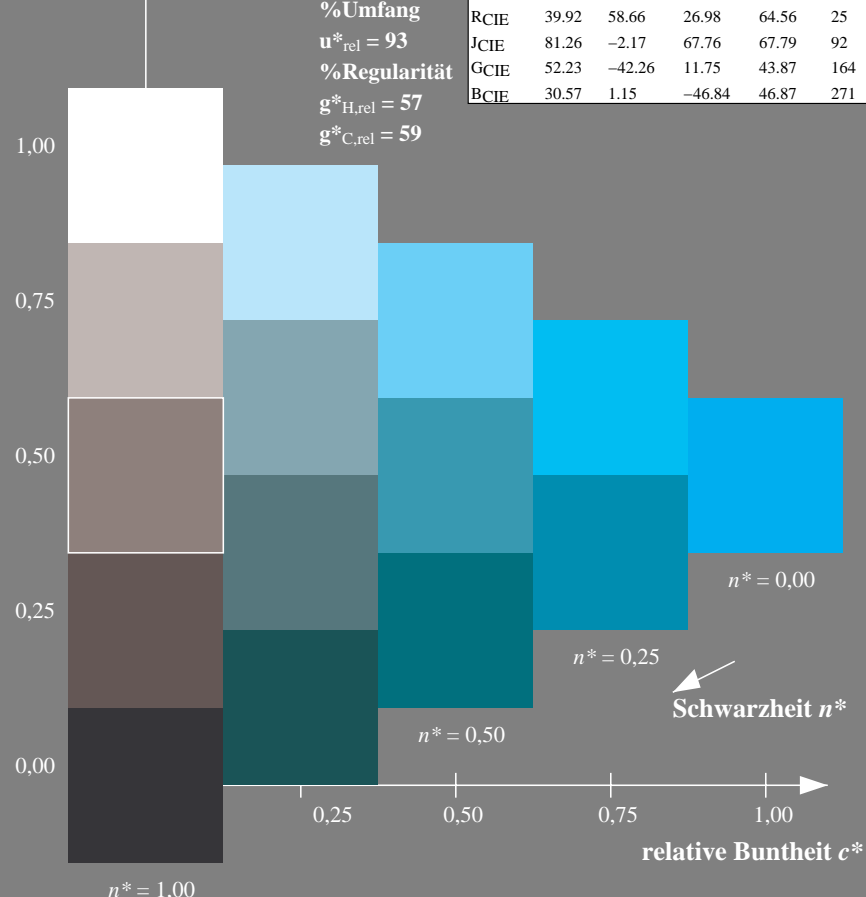
D65: Buntton C
LCH*Ma: 59 54 236
rgb*Ma: 0.0 1.0 1.0

Dreiecks-Helligkeit t^*



%Umfang
 $u^*_{rel} = 93$
%Regularität
 $g^*_{H,rel} = 57$
 $g^*_{C,rel} = 59$

ORS18; adaptierte CIELAB-Daten					
	$L^*=L^*_a$	a^*_a	b^*_a	$C^*_{ab,a}$	$h^*_{ab,a}$
OMa	47.94	65.37	50.52	82.62	38
YMa	90.37	-10.27	91.77	92.34	96
LMa	50.9	-62.79	34.95	71.87	151
CMa	58.62	-30.35	-45.01	54.3	236
VMa	25.71	31.11	-44.42	54.24	305
MMa	48.13	75.27	-8.35	75.73	354
NMa	18.01	0.0	0.0	0.0	0
WMa	95.41	0.0	0.0	0.0	0
RCIE	39.92	58.66	26.98	64.56	25
JCIE	81.26	-2.17	67.76	67.79	92
GCIE	52.23	-42.26	11.75	43.87	164
BCIE	30.57	1.15	-46.84	46.87	271



UG870-7, 3stufige Reihen für konstanten CIELAB Buntton 203/360 = 0.564 (links)

5stufige Reihen für konstanten CIELAB Buntton 236/360 = 0.656 (rechts)

BAM-Prüfvorlage UG87; Farbmatrik-Systeme ORS18 & ORS18input: *cmY0* setcmykcolor*

D65: 3 und 5stufige Farbreihen für 10 Bunttöne

output: *Startup (S) data dependend*

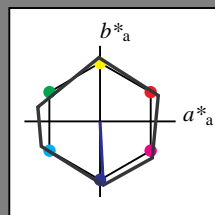
Eingabe: Farbmatisches Reflexions-System NRS11

für Buntton $h^* = lab^*h = 273/360 = 0.758$ lab^*ich und lab^*nch

D65: Buntton B

LCH*Ma: 53 84 273

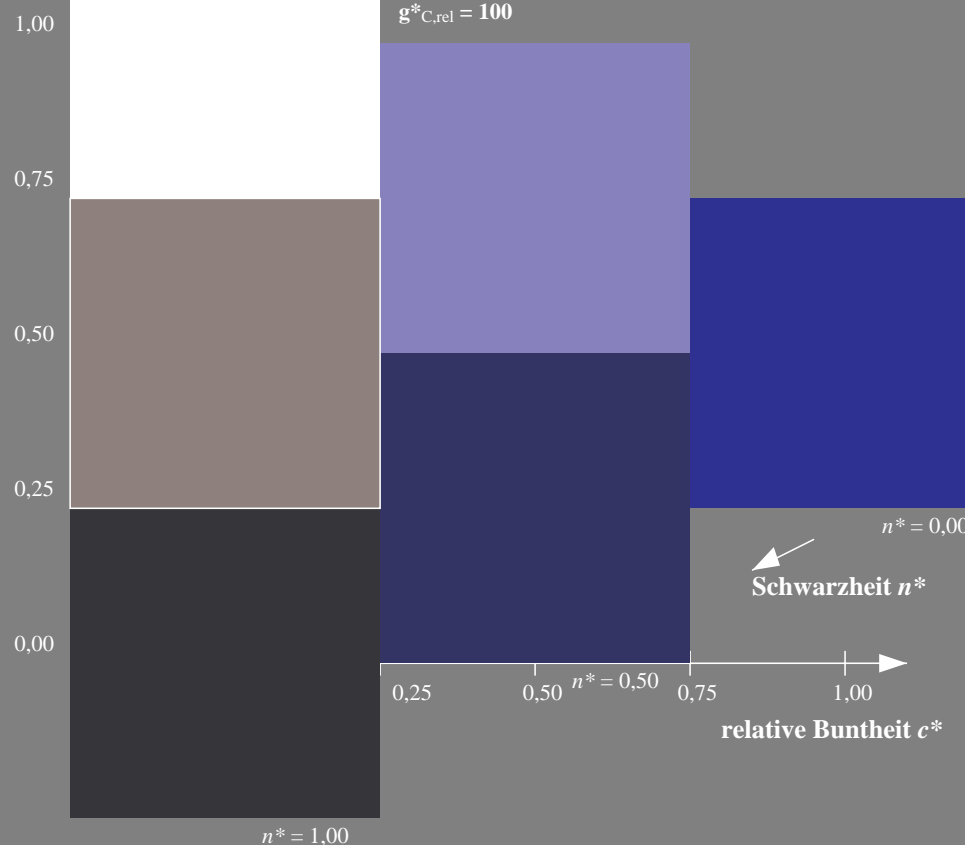
rgb*Ma: 0.0 0.0 1.0

Dreiecks-Helligkeit t^* 

%Umfang
 $u^*_{rel} = 119$
%Regularität
 $g^*_{H,rel} = 47$
 $g^*_{C,rel} = 100$

NRS11; adaptierte CIELAB-Daten

	$L^*=L^*_a$	a^*_a	b^*_a	$C^*_{ab,a}$	$h^*_{ab,a}$
RMa	53.2	77.06	34.32	84.36	24
JMa	53.2	-1.51	84.38	84.39	91
GMa	53.2	-82.27	18.98	84.44	167
G50BMa	53.2	-77.72	-32.98	84.44	203
BMa	53.2	4.37	-84.28	84.41	273
B50RMa	53.2	69.09	-48.41	84.37	325
NMa	10.99	0.0	0.0	0.0	0
WMa	95.41	0.0	0.0	0.0	0
RCIE	39.92	58.69	27.98	65.01	25
JCIE	81.26	-2.9	71.56	71.62	92
GCIE	52.23	-42.45	13.59	44.59	162
BCIE	30.57	1.35	-46.48	46.51	272



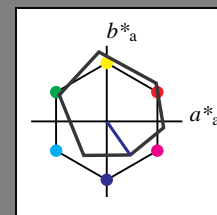
Ausgabe: Farbmatisches Reflexions-System ORS18

für Buntton $h^* = lab^*h = 305/360 = 0.847$ lab^*ich und lab^*nch

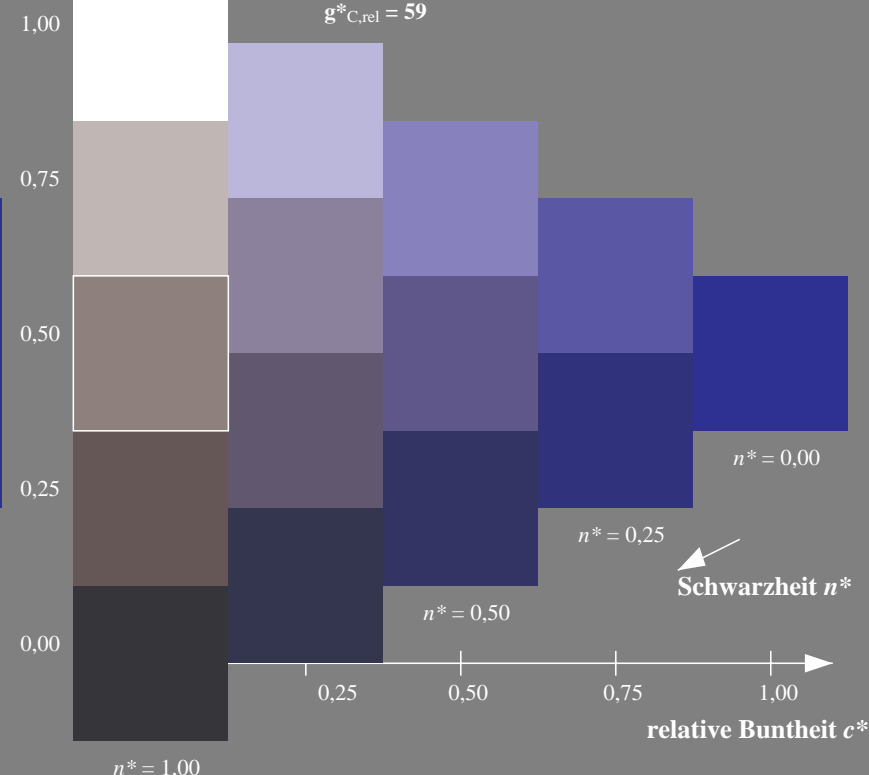
D65: Buntton V

LCH*Ma: 26 54 305

rgb*Ma: 0.0 0.0 1.0

Dreiecks-Helligkeit t^* 

%Umfang
 $u^*_{rel} = 93$
%Regularität
 $g^*_{H,rel} = 57$
 $g^*_{C,rel} = 59$



UG870-7, 3stufige Reihen für konstanten CIELAB Buntton 273/360 = 0.758 (links)

5stufige Reihen für konstanten CIELAB Buntton 305/360 = 0.847 (rechts)

BAM-Prüfvorlage UG87; Farbmatrik-Systeme ORS18 & ORS18input: *cmY0* setcmykcolor*

D65: 3 und 5stufige Farbreihen für 10 Bunttöne

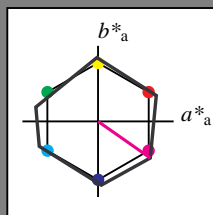
output: *Startup (S) data dependend*

Eingabe: Farbmétrisches Reflexions-System NRS11

für Buntton $h^* = lab^*h = 325/360 = 0.903$
 lab^*ich und lab^*nch

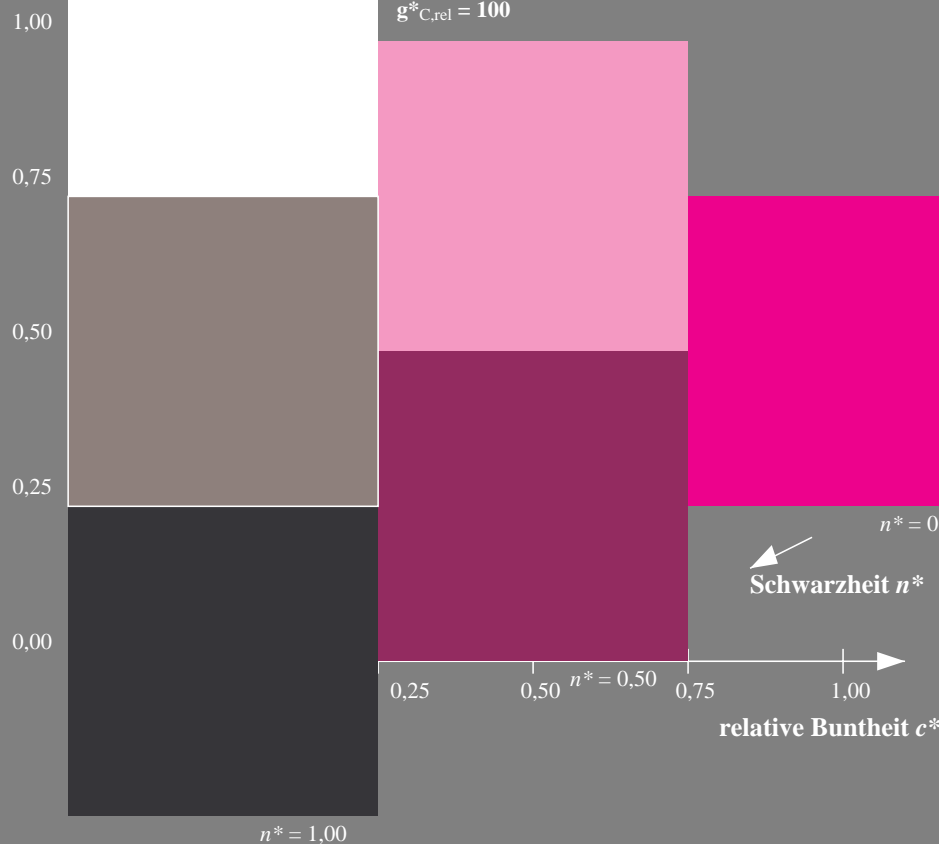
D65: Buntton B50R
LCH*Ma: 53 84 325
rgb*Ma: 1.0 0.0 1.0

Dreiecks-Helligkeit t^*



NRS11; adaptierte CIELAB-Daten					
	$L^*=L_a^*$	a_a^*	b_a^*	$C_{ab,a}^*$	$h_{ab,a}^*$
RMa	53.2	77.06	34.32	84.36	24
JMa	53.2	-1.51	84.38	84.39	91
GMa	53.2	-82.27	18.98	84.44	167
G50BMa	53.2	-77.72	-32.98	84.44	203
BMa	53.2	4.37	-84.28	84.41	273
B50RMa	53.2	69.09	-48.41	84.37	325
NMa	10.99	0.0	0.0	0.0	0
WMa	95.41	0.0	0.0	0.0	0
RCIE	39.92	58.69	27.98	65.01	25
JCIE	81.26	-2.9	71.56	71.62	92
GCIE	52.23	-42.45	13.59	44.59	162
BCIE	30.57	1.35	-46.48	46.51	272

%Umfang
 $u_{rel}^* = 119$
%Regularität
 $g_{H,rel}^* = 47$
 $g_{C,rel}^* = 100$

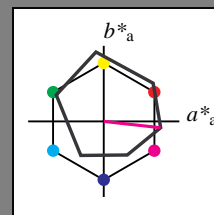


Ausgabe: Farbmétrisches Reflexions-System ORS18

für Buntton $h^* = lab^*h = 354/360 = 0.982$
 lab^*ich und lab^*nch

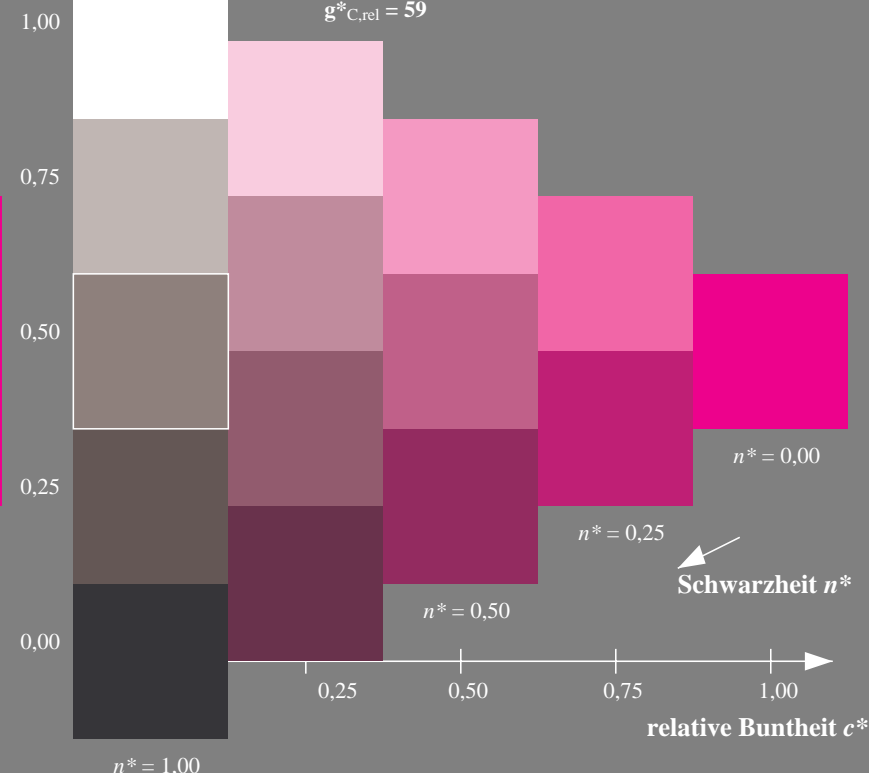
D65: Buntton M
LCH*Ma: 48 76 354
rgb*Ma: 1.0 0.0 1.0

Dreiecks-Helligkeit t^*



ORS18; adaptierte CIELAB-Daten					
	$L^*=L_a^*$	a_a^*	b_a^*	$C_{ab,a}^*$	$h_{ab,a}^*$
OMa	47.94	65.37	50.52	82.62	38
YMa	90.37	-10.27	91.77	92.34	96
LMa	50.9	-62.79	34.95	71.87	151
CMa	58.62	-30.35	-45.01	54.3	236
VMa	25.71	31.11	-44.42	54.24	305
MMa	48.13	75.27	-8.35	75.73	354
NMa	18.01	0.0	0.0	0.0	0
WMa	95.41	0.0	0.0	0.0	0
RCIE	39.92	58.66	26.98	64.56	25
JCIE	81.26	-2.17	67.76	67.79	92
GCIE	52.23	-42.26	11.75	43.87	164
BCIE	30.57	1.15	-46.84	46.87	271

%Umfang
 $u_{rel}^* = 93$
%Regularität
 $g_{H,rel}^* = 57$
 $g_{C,rel}^* = 59$



UG870-7, 3stufige Reihen für konstanten CIELAB Buntton 325/360 = 0.903 (links)

5stufige Reihen für konstanten CIELAB Buntton 354/360 = 0.982 (rechts)

BAM-Prüfvorlage UG87; Farbmétrik-Systeme ORS18 & ORS18input: *cmY0* setcmykcolor*

D65: 3 und 5stufige Farbreihen für 10 Bunttöne

output: *Startup (S) data dependend*

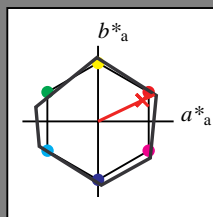
Eingabe: Farbmatisches Reflexions-System NRS11

für Buntton $h^* = lab^*h = 25/360 = 0.071$ lab^*ich und lab^*nch

D65: Buntton R

LCH*Ma: 53 83 25

rgb*Ma: 1.0 0.03 0.0

Dreiecks-Helligkeit t^* 

%Umfang
 $u^*_{rel} = 119$
%Regularität
 $g^*_{H,rel} = 47$
 $g^*_{C,rel} = 100$

NRS11; adaptierte CIELAB-Daten

	$L^*=L^*_a$	a^*_a	b^*_a	$C^*_{ab,a}$	$h^*_{ab,a}$
RMa	53.2	77.06	34.32	84.36	24
JMa	53.2	-1.51	84.38	84.39	91
GMa	53.2	-82.27	18.98	84.44	167
G50BMa	53.2	-77.72	-32.98	84.44	203
BMa	53.2	4.37	-84.28	84.41	273
B50RMa	53.2	69.09	-48.41	84.37	325
NMa	10.99	0.0	0.0	0.0	0
WMa	95.41	0.0	0.0	0.0	0
RCIE	39.92	58.69	27.98	65.01	25
JCIE	81.26	-2.9	71.56	71.62	92
GCIE	52.23	-42.45	13.59	44.59	162
BCIE	30.57	1.35	-46.48	46.51	272

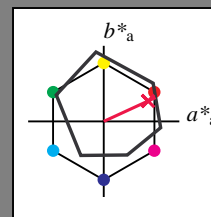
Ausgabe: Farbmatisches Reflexions-System ORS18

für Buntton $h^* = lab^*h = 25/360 = 0.069$ lab^*ich und lab^*nch

D65: Buntton R

LCH*Ma: 48 75 25

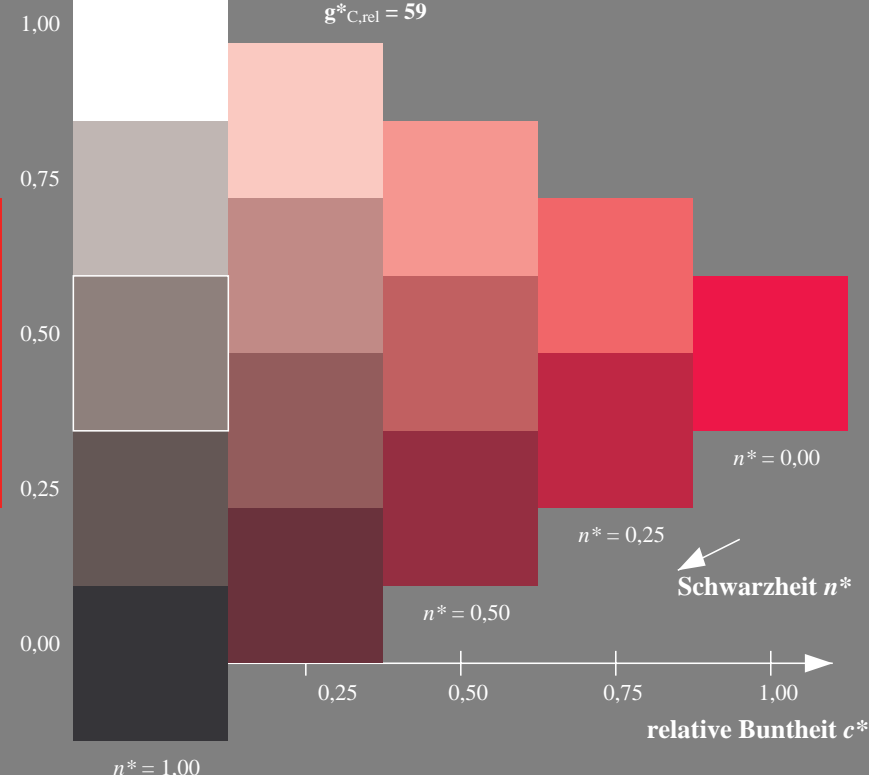
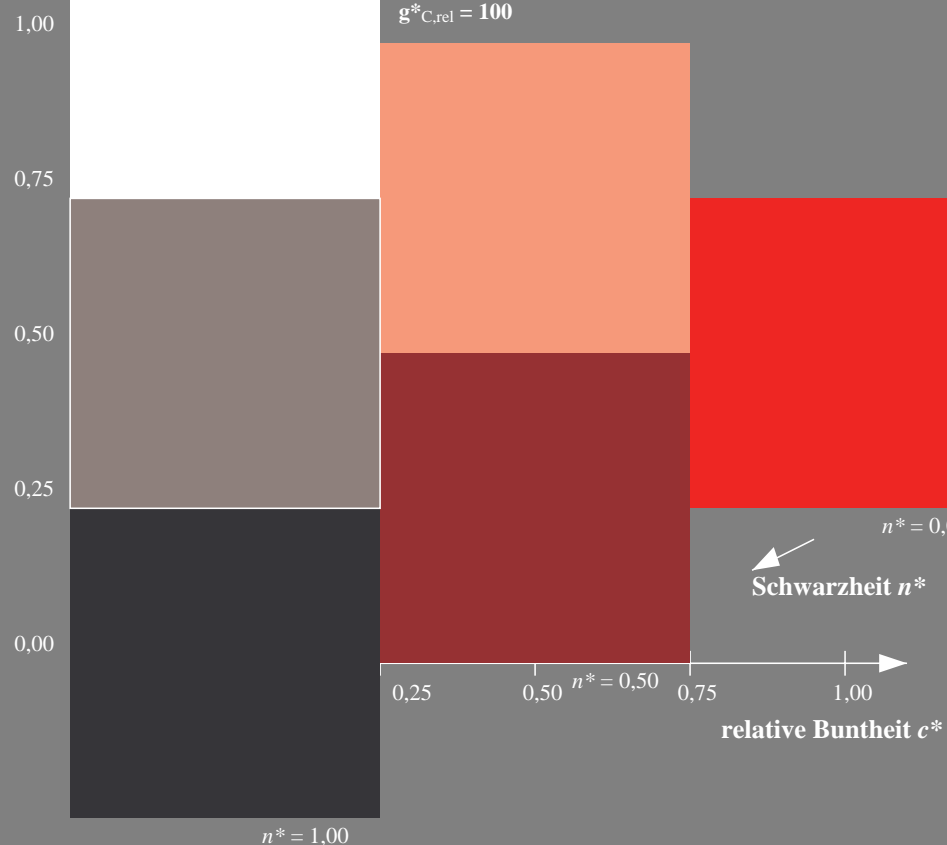
rgb*Ma: 1.0 0.0 0.32

Dreiecks-Helligkeit t^* 

%Umfang
 $u^*_{rel} = 93$
%Regularität
 $g^*_{H,rel} = 57$
 $g^*_{C,rel} = 59$

ORS18; adaptierte CIELAB-Daten

	$L^*=L^*_a$	a^*_a	b^*_a	$C^*_{ab,a}$	$h^*_{ab,a}$
OMa	47.94	65.37	50.52	82.62	38
YMa	90.37	-10.27	91.77	92.34	96
LMa	50.9	-62.79	34.95	71.87	151
CMa	58.62	-30.35	-45.01	54.3	236
VMa	25.71	31.11	-44.42	54.24	305
MMa	48.13	75.27	-8.35	75.73	354
NMa	18.01	0.0	0.0	0.0	0
WMa	95.41	0.0	0.0	0.0	0
RCIE	39.92	58.66	26.98	64.56	25
JCIE	81.26	-2.17	67.76	67.79	92
GCIE	52.23	-42.26	11.75	43.87	164
BCIE	30.57	1.15	-46.84	46.87	271



UG870-7, 3stufige Reihen für konstanten CIELAB Buntton 25/360 = 0.071 (links)

5stufige Reihen für konstanten CIELAB Buntton 25/360 = 0.069 (rechts)

BAM-Prüfvorlage UG87; Farbmatrik-Systeme ORS18 & ORS18input: *cmY0* setcmykcolor*

D65: 3 und 5stufige Farbreihen für 10 Bunttöne

output: *Startup (S) data dependend*

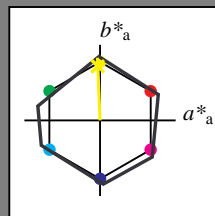
Eingabe: Farbmatisches Reflexions-System NRS11

für Buntton $h^* = lab^*h = 92/360 = 0.256$ lab^*ich und lab^*nch

D65: Buntton J

LCH*Ma: 53 83 92

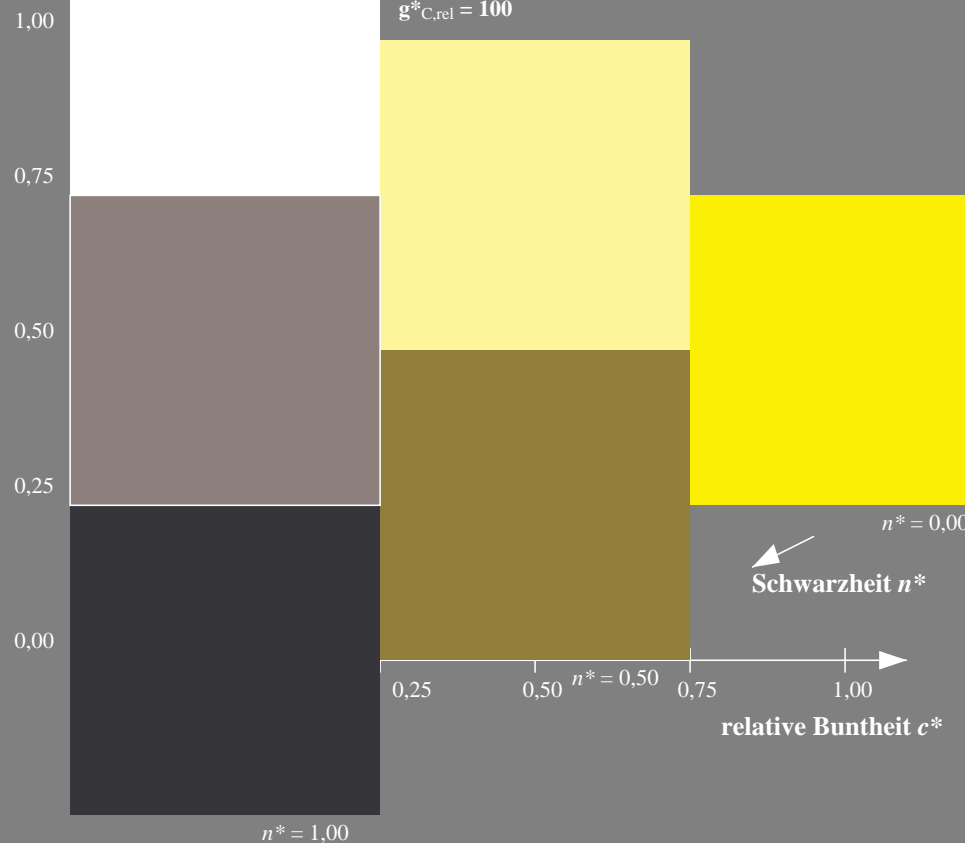
rgb*Ma: 0.98 1.0 0.0

Dreiecks-Helligkeit t^* 

NRS11; adaptierte CIELAB-Daten

	$L^*=L_a^*$	a_a^*	b_a^*	$C_{ab,a}^*$	$h_{ab,a}^*$
RMa	53.2	77.06	34.32	84.36	24
JMa	53.2	-1.51	84.38	84.39	91
GMa	53.2	-82.27	18.98	84.44	167
G50BMa	53.2	-77.72	-32.98	84.44	203
BMa	53.2	4.37	-84.28	84.41	273
B50RMa	53.2	69.09	-48.41	84.37	325
NMa	10.99	0.0	0.0	0.0	0
WMa	95.41	0.0	0.0	0.0	0
RCIE	39.92	58.69	27.98	65.01	25
JCIE	81.26	-2.9	71.56	71.62	92
GCIE	52.23	-42.45	13.59	44.59	162
BCIE	30.57	1.35	-46.48	46.51	272

%Umfang
 $u_{rel}^* = 119$
%Regularität
 $g_{H,rel}^* = 47$
 $g_{C,rel}^* = 100$



UG870-7, 3stufige Reihen für konstanten CIELAB Buntton 92/360 = 0.256 (links)

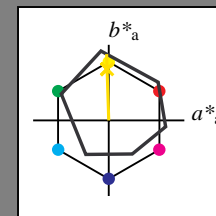
Ausgabe: Farbmatisches Reflexions-System ORS18

für Buntton $h^* = lab^*h = 92/360 = 0.255$ lab^*ich und lab^*nch

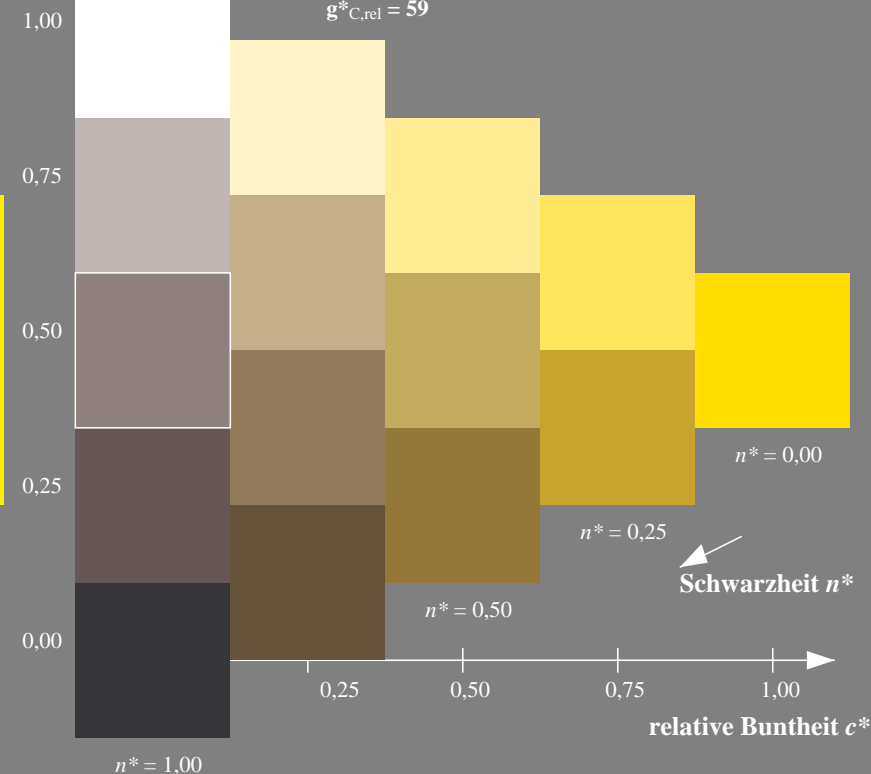
D65: Buntton J

LCH*Ma: 86 88 92

rgb*Ma: 1.0 0.9 0.0

Dreiecks-Helligkeit t^* 

%Umfang
 $u_{rel}^* = 93$
%Regularität
 $g_{H,rel}^* = 57$
 $g_{C,rel}^* = 59$



5stufige Reihen für konstanten CIELAB Buntton 92/360 = 0.255 (rechts)

BAM-Prüfvorlage UG87; Farbmatrik-Systeme ORS18 & ORS18input: *cmY0* setcmykcolor*

D65: 3 und 5stufige Farbreihen für 10 Bunttöne

output: *Startup (S) data dependend*

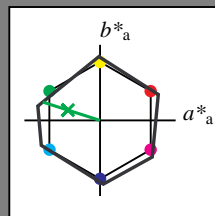
Eingabe: Farbmatisches Reflexions-System NRS11

für Buntton $h^* = lab^*h = 162/360 = 0.451$ lab^*ich und lab^*nch

D65: Buntton G

LCH*Ma: 53 80 162

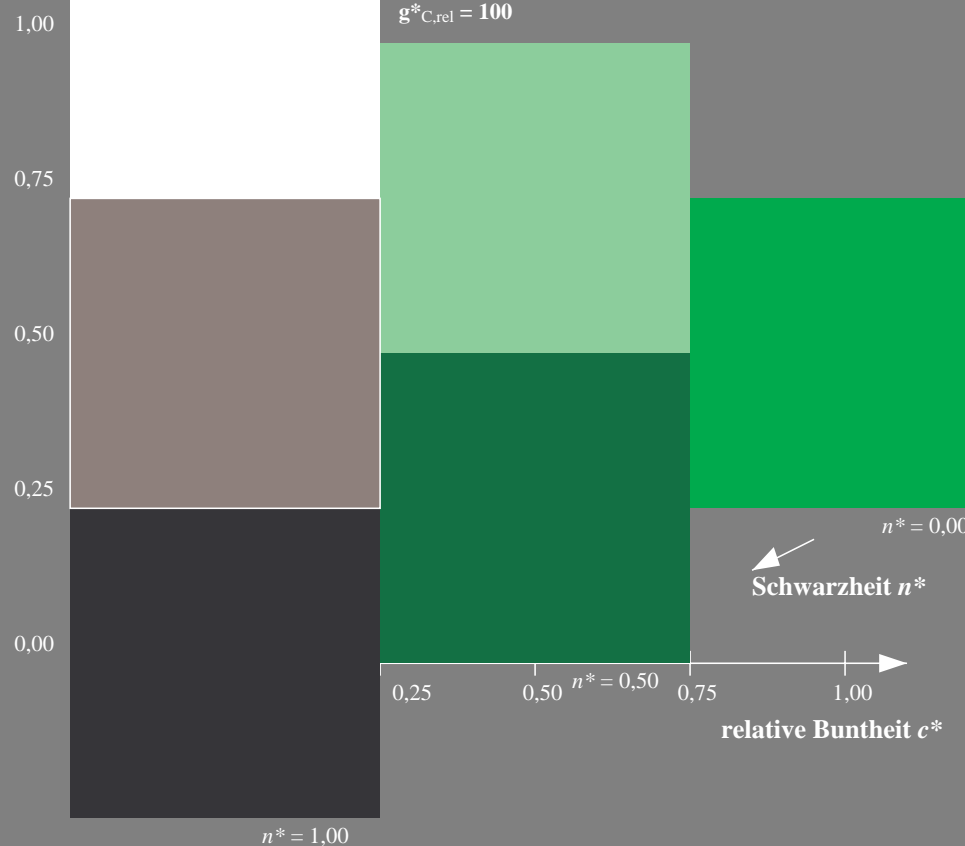
rgb*Ma: 0.08 1.0 0.0

Dreiecks-Helligkeit t^* 

%Umfang
 $u^*_{rel} = 119$
%Regularität
 $g^*_{H,rel} = 47$
 $g^*_{C,rel} = 100$

NRS11; adaptierte CIELAB-Daten

	$L^*=L^*_a$	a^*_a	b^*_a	$C^*_{ab,a}$	$h^*_{ab,a}$
RMa	53.2	77.06	34.32	84.36	24
JMa	53.2	-1.51	84.38	84.39	91
GMa	53.2	-82.27	18.98	84.44	167
G50BMa	53.2	-77.72	-32.98	84.44	203
BMa	53.2	4.37	-84.28	84.41	273
B50RMa	53.2	69.09	-48.41	84.37	325
NMa	10.99	0.0	0.0	0.0	0
WMa	95.41	0.0	0.0	0.0	0
RCIE	39.92	58.69	27.98	65.01	25
JCIE	81.26	-2.9	71.56	71.62	92
GCIE	52.23	-42.45	13.59	44.59	162
BCIE	30.57	1.35	-46.48	46.51	272



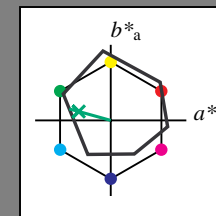
Ausgabe: Farbmatisches Reflexions-System ORS18

für Buntton $h^* = lab^*h = 164/360 = 0.457$ lab^*ich und lab^*nch

D65: Buntton G

LCH*Ma: 53 57 164

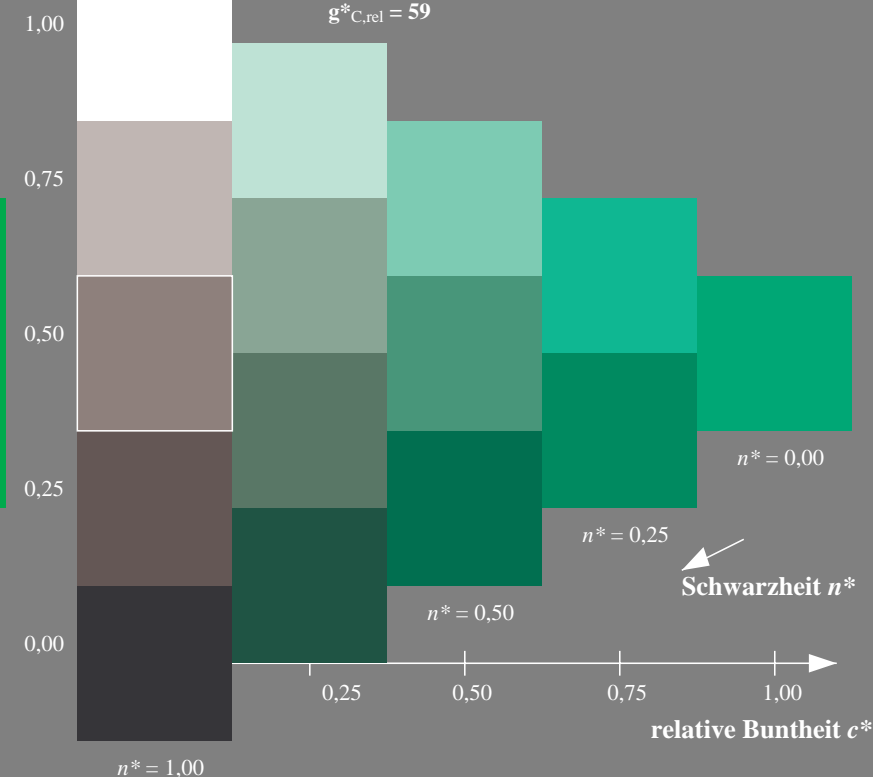
rgb*Ma: 0.0 1.0 0.25

Dreiecks-Helligkeit t^* 

%Umfang
 $u^*_{rel} = 93$
%Regularität
 $g^*_{H,rel} = 57$
 $g^*_{C,rel} = 59$

ORS18; adaptierte CIELAB-Daten

	$L^*=L^*_a$	a^*_a	b^*_a	$C^*_{ab,a}$	$h^*_{ab,a}$
OMa	47.94	65.37	50.52	82.62	38
YMa	90.37	-10.27	91.77	92.34	96
LMa	50.9	-62.79	34.95	71.87	151
CMa	58.62	-30.35	-45.01	54.3	236
VMa	25.71	31.11	-44.42	54.24	305
MMa	48.13	75.27	-8.35	75.73	354
NMa	18.01	0.0	0.0	0.0	0
WMa	95.41	0.0	0.0	0.0	0
RCIE	39.92	58.66	26.98	64.56	25
JCIE	81.26	-2.17	67.76	67.79	92
GCIE	52.23	-42.26	11.75	43.87	164
BCIE	30.57	1.15	-46.84	46.87	271



UG870-7, 3stufige Reihen für konstanten CIELAB Buntton 162/360 = 0.451 (links)

5stufige Reihen für konstanten CIELAB Buntton 164/360 = 0.457 (rechts)

BAM-Prüfvorlage UG87; Farbmatrik-Systeme ORS18 & ORS18input: *cmY0* setcmykcolor*

D65: 3 und 5stufige Farbreihen für 10 Bunttöne

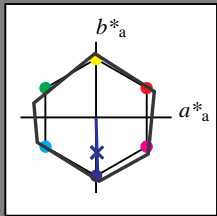
output: *Startup (S) data dependend*

Eingabe: Farbmétrisches Reflexions-System NRS11

für Buntton $h^* = lab^*h = 272/360 = 0.755$
 lab^*ich und lab^*nch

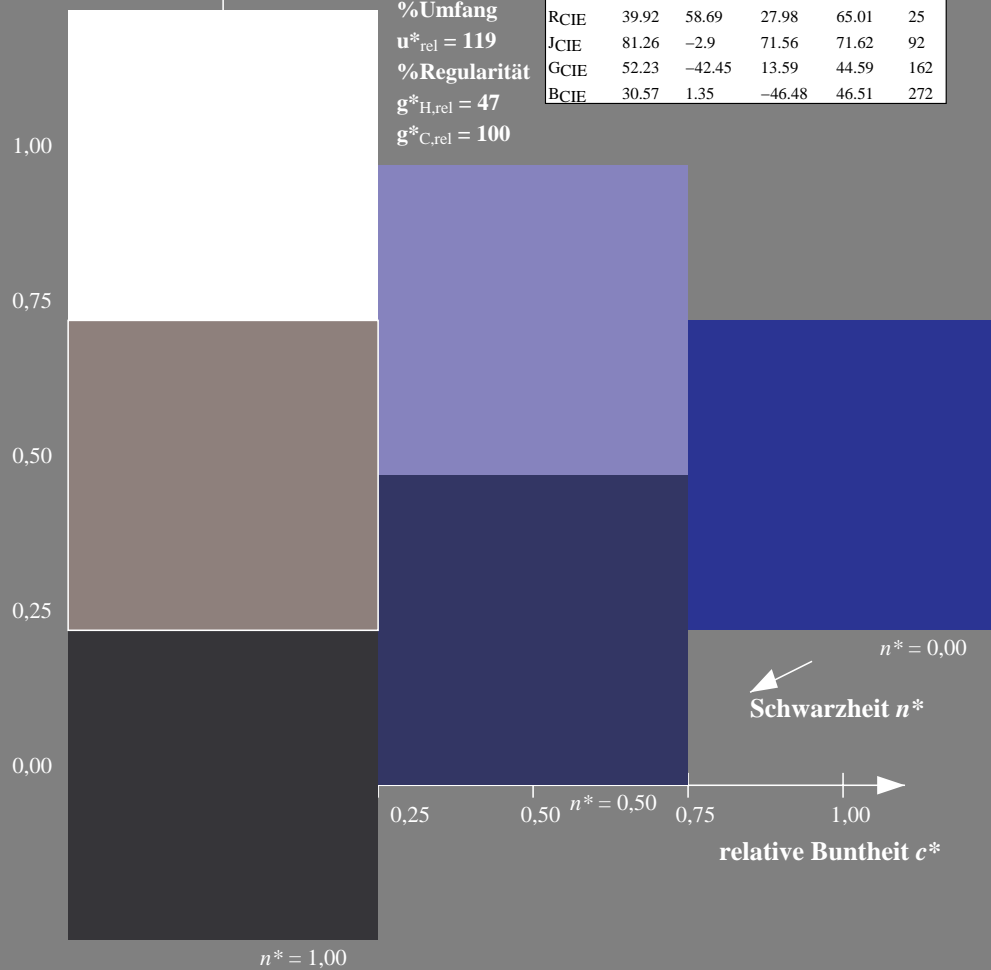
D65: Buntton B
LCH*Ma: 53 83 272
rgb*Ma: 0.0 0.02 1.0

Dreiecks-Helligkeit t^*



NRS11; adaptierte CIELAB-Daten					
	$L^*=L^*_a$	a^*_a	b^*_a	$C^*_{ab,a}$	$h^*_{ab,a}$
RMa	53.2	77.06	34.32	84.36	24
JMa	53.2	-1.51	84.38	84.39	91
GMa	53.2	-82.27	18.98	84.44	167
G50BMa	53.2	-77.72	-32.98	84.44	203
BMa	53.2	4.37	-84.28	84.41	273
B50RMa	53.2	69.09	-48.41	84.37	325
NMa	10.99	0.0	0.0	0.0	0
WMa	95.41	0.0	0.0	0.0	0
RCIE	39.92	58.69	27.98	65.01	25
JCIE	81.26	-2.9	71.56	71.62	92
GCIE	52.23	-42.45	13.59	44.59	162
BCIE	30.57	1.35	-46.48	46.51	272

%Umfang
 $u^*_{rel} = 119$
%Regularität
 $g^*_{H,rel} = 47$
 $g^*_{C,rel} = 100$

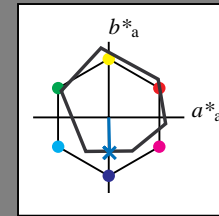


Ausgabe: Farbmétrisches Reflexions-System ORS18

für Buntton $h^* = lab^*h = 271/360 = 0.754$
 lab^*ich und lab^*nch

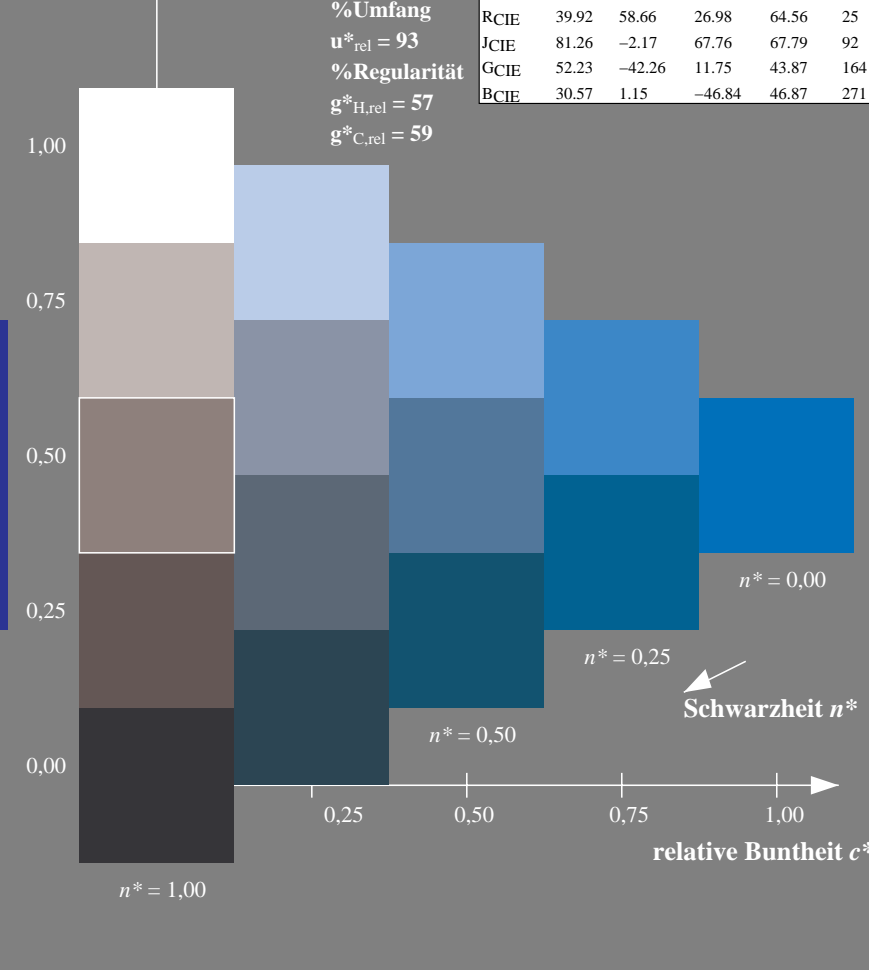
D65: Buntton B
LCH*Ma: 42 45 271
rgb*Ma: 0.0 0.49 1.0

Dreiecks-Helligkeit t^*



ORS18; adaptierte CIELAB-Daten					
	$L^*=L^*_a$	a^*_a	b^*_a	$C^*_{ab,a}$	$h^*_{ab,a}$
OMa	47.94	65.37	50.52	82.62	38
YMa	90.37	-10.27	91.77	92.34	96
LMa	50.9	-62.79	34.95	71.87	151
CMa	58.62	-30.35	-45.01	54.3	236
VMa	25.71	31.11	-44.42	54.24	305
MMa	48.13	75.27	-8.35	75.73	354
NMa	18.01	0.0	0.0	0.0	0
WMa	95.41	0.0	0.0	0.0	0
RCIE	39.92	58.66	26.98	64.56	25
JCIE	81.26	-2.17	67.76	67.79	92
GCIE	52.23	-42.26	11.75	43.87	164
BCIE	30.57	1.15	-46.84	46.87	271

%Umfang
 $u^*_{rel} = 93$
%Regularität
 $g^*_{H,rel} = 57$
 $g^*_{C,rel} = 59$



UG870-7, 3stufige Reihen für konstanten CIELAB Buntton 272/360 = 0.755 (links)

5stufige Reihen für konstanten CIELAB Buntton 271/360 = 0.754 (rechts)

BAM-Prüfvorlage UG87; Farbmétrik-Systeme ORS18 & ORS18input: *cmY0* setcmykcolor*
D65: 3 und 5stufige Farbreihen für 10 Bunttöne
output: *Startup (S) data dependend*